

AS1-Teil 4 Konkurrentes Lernen

Lernparadigmen

Das **Plastizität vs. Stabilitäts-Dilemma**

- „weiche“, **adaptierte Verbindungen**
 - ✓ **Schnelle Anpassung** auf veränderte Anforderungen bzw. Umgebung
 - ✓ **Bessere Reaktion** bei veränderter Umgebung
 - ▼ Bilden unspezifischer, generalisierter Mittelwertsreaktionen
 - ▼ **Keine** neue Reaktion (Klasse) möglich bei **stark veränd.** Umgebung
- „harte“, **inflexible, stabile Verbindungen**
 - ✓ einmal erlangte **gute Reaktion bleibt erhalten** trotz Ausreisser
 - ✓ Bei schlechter Passung (Test!) **Bildung neuer Klassen** möglich
 - ▼ **keine** Anpassung bei **leicht veränderter** Umgebung möglich

Idee: Lernen + neue Klassen durch Konkurrenzsituation:
der Bessere übernimmt und lernt die Klasse

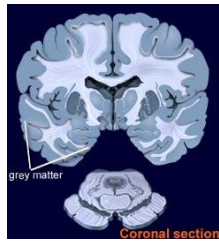
Somatotopische Karten

Selbstorganisierende Karten

Anwendung Sprachanalyse

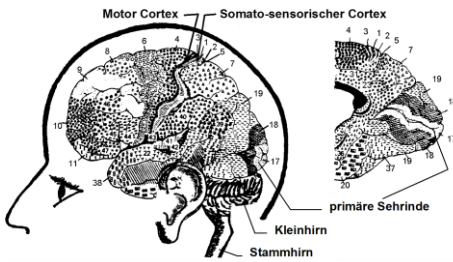
Anwendung Robotersteuerung

Vorbild Gehirn



Das Vorbild: Gehirnfunktionen

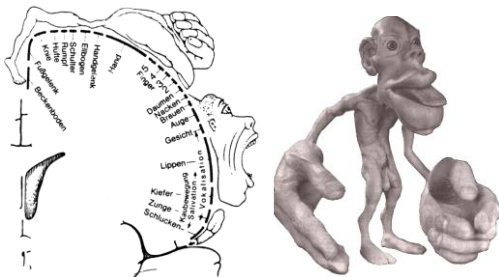
Unterteilung des Gehirns in funktionale Bereiche



Gehirn = 2-dim „Tuch“

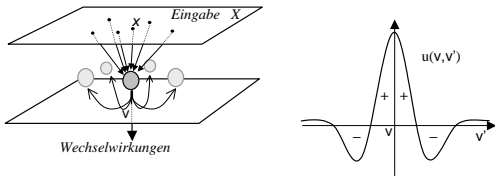
Somatotope

Beobachtung: Abbilder, Karten



Lokale Wechselwirkungen

Aktivität in kontinuierlichen Neuronenfeldern



$$\tau \frac{\partial}{\partial t} z(\mathbf{v}, t) = -z(\mathbf{v}, t) + \int_{\mathbf{x}} w(\mathbf{v}, \mathbf{x}, t) x(\mathbf{x}, t) d\mathbf{x} - s(\mathbf{v}, t) + \int_{\mathbf{v}'} u(\mathbf{v} - \mathbf{v}') y(\mathbf{v}', t) d\mathbf{v}'$$

Eingabe für Neuron \mathbf{v} – Schwelle + laterale Kopplungen

Cohen-Grossberg 1983:
Aktivität stabil bei symm. Gewichten u_{ij} , monoton wach. $y(\cdot)$ und $\tau > 0$

Lokale Wechselwirkungen

Training: Hebb'sches Lernen

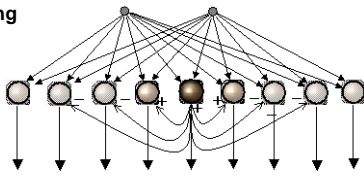
$$\tau_1 \frac{\partial}{\partial t} w(\mathbf{v}, \mathbf{x}, t) = -w(\mathbf{v}, \mathbf{x}, t) + \gamma_1 y(\mathbf{v}, t) x(\mathbf{x}, t) \quad \text{Gewichte}$$

$$\tau_2 \frac{\partial}{\partial t} s(\mathbf{v}, t) = -s(\mathbf{v}, t) + \gamma_2 y(\mathbf{v}, t) x_0 \quad \text{Schwelle}$$

$$\tau_1, \tau_2 \gg \tau$$

Lokale Wechselwirkungen

Training



$$\tau \frac{\partial}{\partial t} z(\mathbf{v}, t = t') \approx z_i(t) - z_i(t-1) = -z_i(t-1) + \sum_j w_{ij}(t) x_j(t) + \sum_j u_{ij} y_j(t)$$

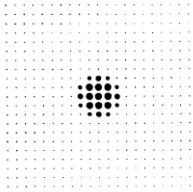
Abklingen der Veränderung, **diskrete** Strukturen

$$y_i(t) = S(\sum_j w_{ij}(t) x_j(t) + \sum_j u_{ij} y_j(t))$$

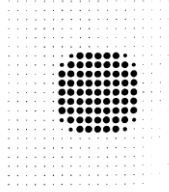
$$w_{ij}(t) = w_{ij}(t-1) + \gamma [x_i y_i - B(y_i) w_{ij}] \quad \text{mit } B(\cdot) \text{ zum Vergessen}$$

Lokale Wechselwirkungen

Simulation der Aktivität: Populationskodierung



hohe Schwelle



niedrige Schwelle

Abstraktion: Mittelpunkt einer „Blase“. Hier: $B(y)=1$

Somatotopische Karten

Selbstorganisierende Karten

Anwendung Sprachanalyse

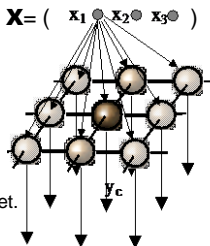
Anwendung Robotersteuerung

Kohonenetze: Topologie

Eingabedimension $n = 3$

Alle Neuronen erhalten die gesamte Eingabe.

$$\mathbf{X} = (x_1 \quad x_2 \quad x_3)$$



Ausgabedimension $d = 2$

Die Ausgaben werden in einem Ausgaberaum angeordnet.

Def. „Nachbarschaft“ von Neuronen

Lernalgorithmus Kohonenkarten

1. Suche Neuron (Gewichtsvektor) mit kleinstem Abstand zur Eingabe \mathbf{x} (größter Ausgabe)

$$|\mathbf{x} - \mathbf{w}_c| = \min_k |\mathbf{x} - \mathbf{w}_k| \quad \text{winner selection}$$

2. Adaptiere die Gewichte

$$\mathbf{w}_k(t+1) = \mathbf{w}_k(t) + \gamma^{(t+1)} [\mathbf{x} - \mathbf{w}_k(t)]$$

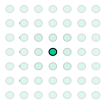
3. Adaptiere auch die nächsten Nachbarn

$$\mathbf{w}_k(t+1) = \mathbf{w}_k(t) + \gamma^{(t+1)} h^{(t+1,c,k)} [\mathbf{x} - \mathbf{w}_k(t)]$$

z.B. mit $h^{(t+1,c,k)} := \begin{cases} 1 & \text{wenn Neuron } k \text{ aus der Nachbarschaft von } c \text{ ist} \\ 0 & \text{sonst} \end{cases}$ *Winner Take All*

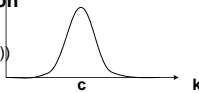
Nachbarschaftsfunktionen

- Binäre Funktion: zeitabhängige Einschränkung



- Glockenfunktion

$$h(k,c,t) = \exp(-k-c, \sigma(t))$$



Topologie-Entwicklung

Eingabe: uniform-verteilte, 2-dim Zufallszahlen

Zeichnung: Verbindungslinie vom Gewichtsvektorendpkt zum Nachbarn

Zeichnung:

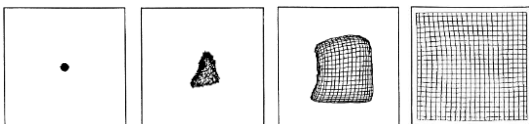


t=0

t=20

t=100

t=10000

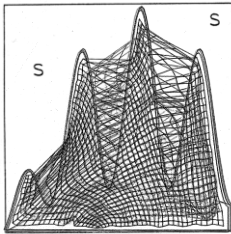


Simulation SOM

- ❖ **Simulation** einer uniformen, rechteckigen 2D-Eingabeverteilung, 2D-Ausgabeanordnung
teacher demo/ reale Approximation
- ❖ **Simulation** einer ringförmigen 2D-Verteilung,
Lupeneffekt

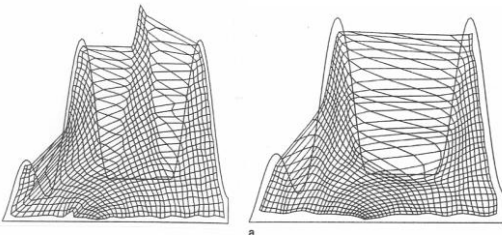
Topologie-Entwicklung SOM

Beispiel Finger-Sensorikentwicklung



Topologie-Entwicklung

Beispiel Finger-Amputation, Phantomschmerzen



Topologie-Entwicklung

Tendenz zur Selbstordnung

Iteration für zwei Gewichtsvektoren w_1 und w_2 bei gleicher Eingabe:

- Abstand verringert sich (Rechnung)
- Kein Nachbar überholt den Gewinner (Rechnung)

Pseudocode für Kohonenkarten

```

VAR x: ARRAY [1..n] OF REAL; (* Muster *)
w: ARRAY [1..n, 1..m] OF REAL; (* Gewichte *)
vc: RECORD i,j: INTEGER END; (* sel. Neuron *)
BEGIN
  G := G_max; (* initial: max. Nachbarschaft *)
  FOR t := 1 TO t_max DO
    Read (Patte: z[1..n], c); (* Muster erzeugen oder einlesen *)
    (* Neuron selektieren *)
    Min := ABS(x-w[1,1]); (* initialer Wert *)
    FOR i := 1 TO m DO (* In allen Spalten *)
      FOR j := 1 TO n DO (* und Zeilen *)
        Abstand := ABS(x-w[i,j]);
        IF Abstand < Min THEN
          Min := Abstand; vc.i := i; vc.j := j;
        END IF;
      END FOR;
    END FOR;
    (* Gewichte adaptieren *)
    FOR i := vc.i - G TO vc.i + G DO (* Evaluiere 2-dim. *)
      FOR j := vc.j - G TO vc.j + G DO (* Nachbarschaft um c *)
        IF i > 0 AND i <= m AND j > 0 AND j <= n THEN (* Vorsicht am Rand *)
          w[i,j] = w[i,j] + 1.0 / FLOAT(t) * (x-w[i,j]);
        END IF;
      END FOR;
    END FOR;
    Grafikazeige(t,w); (* Visualisierung der Iteration *)
    update(G); (* Verkleinerung des Nachbarschaftsradius G *)
  END;
  END
  
```

Überwachte adaptive Vektorquantisierung

Klasse bekannt: Lerne die Klassengrenzen

$$w_k(t+1) = w_k(t) + \gamma(t+1) h(t,c,k)[x - w_k(t)]$$

$$\text{mit } h(t,c,k) := \begin{cases} 1 & k = c, \text{ Klasse}(w_c) = \text{Klasse}(x) \\ -1 & k = c, \text{ Klasse}(w_c) \neq \text{Klasse}(x) \\ 0 & k \neq c \end{cases}$$

$$2. \text{ Nachbar } c' \text{ ebenfalls } \begin{cases} 1 & k = c, c' \text{ und Klasse}(w_k) = \text{Klasse}(x) \\ -1 & k = c, c' \text{ und Klasse}(w_k) \neq \text{Klasse}(x) \\ 0 & k \neq c, c' \end{cases}$$

Somatotopische Karten

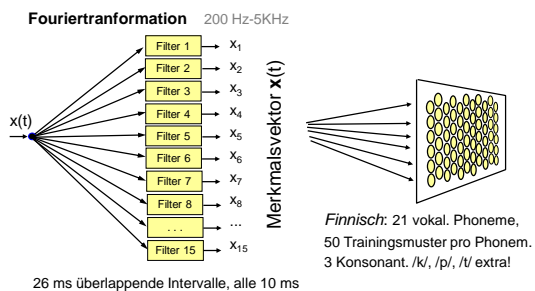
Selbstorganisierende Karten

Anwendung Sprachanalyse

Anwendung Robotersteuerung

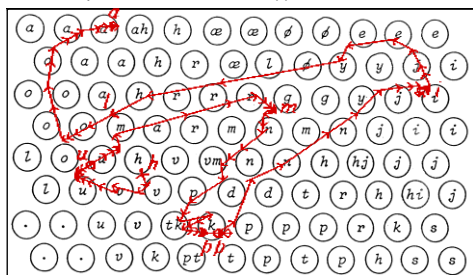
Spracherkennung

Beispiel: Neuronale Schreibmaschine



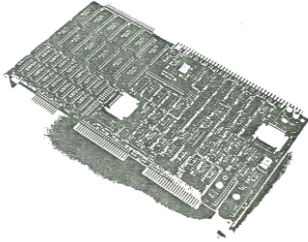
Spracherkennung

Erfolg: ähnliche Phoneme - ähnlicher Ort.
z.B. Dynamik des Wortes >>humpilla<<



Spracherkennung

Implementierung: Hardware-Platine



Training: 10min/100Worte
pro Sprecher

Erkennung: 250ms/Wort

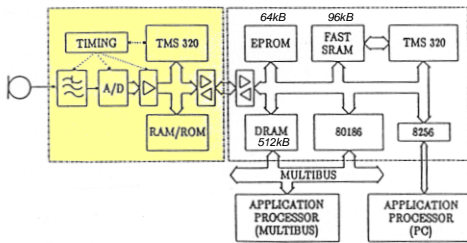
Leistung
92%-97% richtig erkannt

Spracherkennung

Implementierung

Preprocessing

"Neural network"



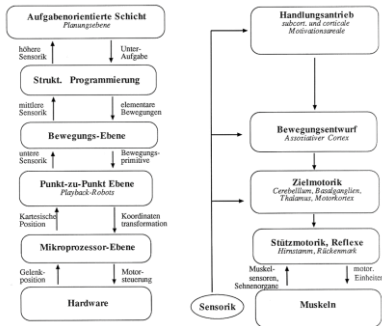
Somatotopische Karten

Selbstorganisierende Karten

Anwendung Sprachanalyse

Anwendg Robotersteuerung

Robotersteuerung vs. Muskelkontrolle



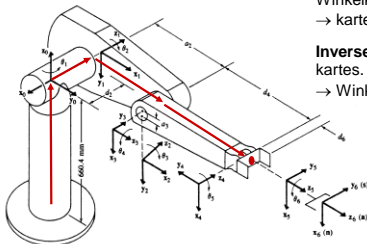
Robotersteuerung

Beispiel Puma-Roboter

Probleme

Kinematik
Winkelkoord. Gelenke θ
→ kartes. Koord. x

Inverse Kinematik
kartes. Koord. x
→ Winkelkoord. θ



Robotersteuerung

• **Kinematik** durch homogene Koord.transformationen

Drehung Skalierung Shift

$$\begin{pmatrix} \cos \varphi & -\sin \varphi \\ \sin \varphi & \cos \varphi \end{pmatrix} \quad \begin{pmatrix} c_1 & 0 \\ 0 & c_2 \end{pmatrix} \quad \begin{pmatrix} 1 & 0 & s_1 \\ 0 & 1 & s_2 \\ 0 & 0 & 1 \end{pmatrix}$$

$$W = W_{\text{shift}} \cdot W_{\text{rot}} \cdot W_{\text{scal}} = \begin{pmatrix} c_1 \cos \varphi & -c_2 \sin \varphi & s_1 \\ c_1 \sin \varphi & c_2 \cos \varphi & s_2 \\ 0 & 0 & 1 \end{pmatrix}$$

• **Inverse Kinematik** Analytisch schwierig oder unmöglich!

$$\theta_1 = \tan^{-1}(f_1(p_1, p_2, d_2)) \quad := t_1(p) \quad |\theta_1| \leq \pi$$

$$\theta_2 = \tan^{-1}(f_2(p_1, p_2, p_3, a_2, a_3, d_2, d_3)) \quad := t_2(p) \quad |\theta_2| \leq \pi$$

$$\theta_3 = \tan^{-1}(f_3(p_1, p_2, p_3, a_2, a_3, d_2, d_3)) \quad := t_3(p) \quad |\theta_3| \leq \pi$$

Inverse Kinematik beim PUMA-Roboterarm

$$\theta_1 = \tan^{-1} \left[\begin{array}{c} -\text{ARM} \cdot p_y \sqrt{p_x^2 + p_z^2 - d_1^2} - p_x d_2 \\ -\text{ARM} \cdot p_x \sqrt{p_x^2 + p_z^2 - d_1^2} + p_y d_2 \end{array} \right] \quad -\pi < \theta_1 < \pi$$

$$\theta_2 = \tan^{-1} \left[\begin{array}{c} \sin \alpha \cos \beta + (\text{ARM} \cdot \text{ELBOW}) \cos \alpha \sin \beta \\ \cos \alpha \cos \beta - (\text{ARM} \cdot \text{ELBOW}) \sin \alpha \sin \beta \end{array} \right] \quad -\pi < \theta_2 < \pi$$

$$\cos \alpha = \frac{-\text{ARM} \cdot \sqrt{p_x^2 + p_z^2 - d_1^2}}{\sqrt{p_x^2 + p_y^2 + p_z^2 - d_1^2}} \quad \cos \beta = \frac{p_x^2 + p_y^2 + p_z^2 + d_2^2 - (d_1^2 + a_2^2)}{2a_2 \sqrt{p_x^2 + p_y^2 + p_z^2 - d_1^2}}$$

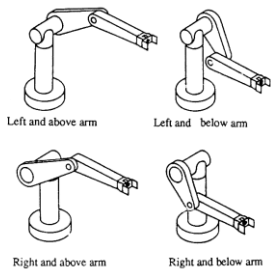
$$\sin \alpha = \frac{p_z}{\sqrt{p_x^2 + p_y^2 + p_z^2 - d_1^2}} \quad \sin \beta = \sqrt{1 - \cos^2 \beta}$$

$$\theta_3 = \tan^{-1} \left[\begin{array}{c} \sin \phi \cos \beta - \cos \phi \sin \beta \\ \cos \phi \cos \beta + \sin \phi \sin \beta \end{array} \right] \quad -\pi < \theta_3 < \pi$$

$$\sin \phi = \text{ARM} \cdot \text{ELBOW} \sqrt{1 - \cos^2 \beta} \quad \cos \phi = \frac{d_2^2 + (d_1^2 + a_1^2) - R^2}{2a_1 \sqrt{d_1^2 + a_1^2}}$$

$$\sin \beta = \frac{d_2}{\sqrt{d_1^2 + a_1^2}} \quad \cos \beta = \frac{|d_2|}{\sqrt{d_1^2 + a_1^2}} \quad R = \sqrt{p_x^2 + p_y^2 + p_z^2 - d_1^2}$$

Inverse Kinematik beim PUMA-Roboterarm



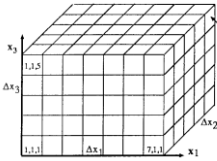
Arm configurations	ARM	ELBOW
LEFT and ABOVE arm	-1	+1
LEFT and BELOW arm	-1	-1
RIGHT and ABOVE arm	+1	+1
RIGHT and BELOW arm	+1	-1

**Besser:
Lernen der inversen
Kinematik!**

Probleme der Positionskontrolle

- Änderungen der Armgeometrie sind nicht möglich, sonst Neu-Analyse und Reprogrammierung der Transformation nötig
- Mehr Gelenke als Freiheitsgrade nur Teilbewegungen möglich
- Analytische Transformation Kart. Koord → Gelenk-Koord. langsam Echtzeitprobleme
- Keine bessere Auflösung an kritischen Stellen
- Keine automatische Bewegungsoptimierung (z.B. Energie)

Grobe Positionierung



Suche Neuron mit Winner-take-all
 $|w_k - x| = \max_i |w_i - x|$
 Assoziiert ist $\Theta_k = (\theta_1, \theta_2, \theta_3)$

Lernen von w_k z.B. mit Kohonen-Netz, oder fest initialisiert

Feine Positionierung

Aktivität

grobe Pos. *feine Pos.*
 $\Theta(x) = \Theta_c + \Delta\Theta = \Theta_c + A_c(x - w_c) = U_c \Delta x$
 mit $U_c = (A_c, \Theta_c)$, $\Delta x = (x - w_c, 1)$

Lernen

$U_c(t+1) = U_c(t) + h(\cdot)\gamma(t+1)[U_c^* - U_c(t)]$ SOM Lernregel

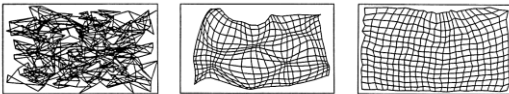
Widrow-Hoff Lernregel für Schätzung U^*

Lehrervorgaben x_i : beob. Position durch w_c bzw. Θ_c
 x_f : beob. finale Position

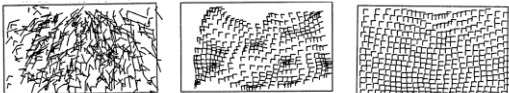
$\Theta_c^* = \Theta_c + A_c(x - x_f)$
 $A_c^* = A_c + A_c [(x - w_c) - (x_f - x_i)] (x_f - x_i)^T / [(x_f - x_i)^2]$

Konvergenzverhalten

Grobbewegung Θ_c



Feinbewegung A_c



t = 0

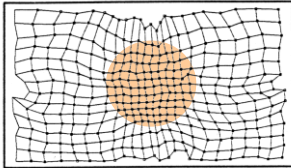
t = 500

t = 10.000

Robotersteuerung

Vorteile

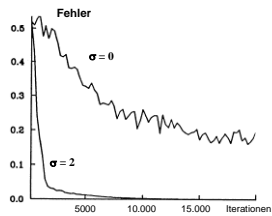
- **Schnelle Kontrolle**, da tabellierte Funktion
- SOMs steuern auch sehr **unkonventioneller Architekturen**
(Vielgelenksarme, benutzer-definierte Geometrie)
- **Verbesserte Auflösung** (Neuronendichte) der topologic-erhaltenden Abbildung in oft benutzten Gebieten : bedarfsabhängige Auflösung!



Robotersteuerung

Vorteile

- **Nebenbedingungen** sind einfacher zu integrieren (z.B. Energie)
- **Lerngeschwindigkeit** ist durch die Nachbarschaft deutlich beschleunigt
(Fluch der Dimensionen gemildert!)



Robotersteuerung

Nachteile

- Die erlernten Transformationstabellen sind **fest**
- **Zeitsequenzen** können so nicht erlernt werden
(Trajektorien)
- Es gibt **keine Generalisierung** oder Abstraktion einer Bewegung; Skalierung der Bewegung ist **nicht** möglich!
